

© Т.К.Рамазанов, М.Х.Гюльмамедов, М.Г.Ханбабаева, 2006

## ДИНАМИКА ДИЛАТАНСИОННО-ПЛАСТИЧЕСКОЙ ЗОНЫ ВОКРУГ ДЕЙСТВУЮЩЕЙ СКВАЖИНЫ И ИНТЕНСИВНОСТЬ ВЫНОСА ТВЕРДОЙ ПОРОДЫ

Т.К.Рамазанов, М.Х.Гюльмамедов, М.Г.Ханбабаева

Институт геологии НАН Азербайджана  
AZ 1143, Баку, просп. Г.Джавида, 29А

На основе совместного решения уравнений сохранения импульсов и масс для твердой и жидкой фаз насыщенных пористых сред впервые исследован процесс нестационарной фильтрации жидкости в дилатансионно-пластической зоне вокруг центральной совершенной скважины. Получены аналитические выражения для гидродинамических характеристик пласта и порового давления, определен вынос интенсивности разрушенной породы и изучена динамика развития упруго-пластической границы в зависимости от параметров задачи.

Интенсификация разработки слабосцепментированных нефтегазовых месторождений, с одной стороны, требует увеличения как пластового давления, так и градиента давления, с другой стороны, она приводит к интенсивному выносу разрушенной породы. Поэтому из проблем подземной гидродинамики важными являются изучение механизма развития упруго-пластических зон вокруг действующей скважины и регулирование пластового давления и выноса объема поступления разрушенных пород в скважину.

Математическое моделирование процесса фильтрации флюида в дилатирующих зонах вокруг скважины изучается с недавнего времени (Рамазанов, 1996; Графутко, Николаевский, 1998; Рамазанов, Атаев, 2000). В связи с этим представляют интерес исследование нестационарной фильтрации жидкости в неустойчивой зоне и определение порового давления, пористости и коэффициента проницаемости пласта вблизи действующей скважины (Рамазанов, 1996; Графутко, Николаевский, 1998; Рамазанов, Атаев, 2000; Зотов и др., 1987; Горбунов, 1981).

**Постановка задачи:** Пусть в плоско-радиальном пласте мощностью  $h$  пробурена одна центральная совершенная скважина с начальным радиусом  $a_0$ , и до эксплуатации скважины вокруг нее образовалась пластическая зона радиусом  $R_0$ . При мгновенном пуске скважины с постоянным дебитом  $Q_f$  происходит развитие дилатансионно-пластической зоны и интенсивный вынос породы с дебитом

$Q_s(t)$  в скважину. За пределом пластической зоны пласт ведет себя как линейно-упругая среда, и в этой области поддерживается постоянное пластовое давление  $p_k$  на контуре питания  $R_k$ . Граница, разделяющая пластическую область от упругой  $R(t)$ , значительно меньше, чем  $R_k$ . В бесконечности выполняется условие покоя, т.е. радиальное эффективное напряжение  $\sigma_{rr}^f$  и пористость  $m$  постоянны и равны начальным значениям  $\sigma_k^f$ ,  $m_0$  и т.д. Требуется определить динамику интенсивности выноса твердых пород пласта, радиусов дилатансионно-пластической зоны и изменения давления на стенке скважины.

Для пластической зоны уравнения неразрывности твердой и жидкой фаз в плоско-радиальном случае имеют вид (Рамазанов, 1996; Графутко, Николаевский, 1998; Рамазанов, Атаев, 2000; Николаевский, 1984):

$$\frac{\partial(1-m)\rho_s}{\partial t} + \frac{1}{r} \frac{\partial}{\partial r} [r(1-m)\rho_s v] = 0, \quad (1.1)$$

$$\frac{\partial m \rho_f}{\partial t} + \frac{1}{r} \frac{\partial}{\partial r} (rm \rho_f w) = 0, \quad (1.2)$$

уравнения сохранения импульса твердого скелета:

$$\frac{\partial \sigma_{rr}^f}{\partial r} + \frac{\sigma_{rr}^f - \sigma_{\theta\theta}^f}{r} - \frac{\partial p}{\partial r} = 0, \quad (1.3)$$

и движение жидкости при учете скорости твердой фазы (обобщение закона Дарси):

$$\frac{k}{\mu_0} \frac{\partial p}{\partial r} = -m(w - v), \quad (1.4)$$

дилатансионное соотношение:

$$\begin{aligned} \frac{\partial v}{\partial r} + \frac{v}{r} &= \Lambda \sqrt{\frac{3}{3 - \Lambda^2}} \left( \frac{\partial v}{\partial r} - \frac{v}{r} \right) \text{ или} \\ \frac{\partial v}{\partial r} + n \frac{v}{r} &= 0, \end{aligned} \quad (1.5)$$

условие текучести Морра-Кулона в главных эффективных напряжениях:

$$\sigma_{\theta\theta}^f - N\sigma_{rr}^f = K, \quad (1.6)$$

где  $m$ ,  $k$  – соответственно пористость и коэффициент проницаемости пласта,  $\rho_f, w, p$  – истинные плотность, радиальная скорость и поровое давление жидкой фазы,  $\rho_s, v$  – истинные плотность, радиальная скорость твердой фазы,  $\mu_0$  – динамическая вязкость жидкости,  $\sigma_{rr}^f, \sigma_{\theta\theta}^f$  – радиальное и кольцевое эффективные напряжения,  $\alpha, Y$  – коэффициенты внутреннего трения и сцепления,  $\Lambda$  – скорость дилатансии,  $N = (1 + \sin \varphi)/(1 - \sin \varphi)$ ,  $K = -2Y \sin \varphi / \alpha(1 - \sin \varphi)$ ,

$$\begin{aligned} \sin \varphi &= \alpha \frac{\sqrt{3(3 - \Lambda^2)}}{3 - \alpha \Lambda}, \\ n &= 1 + \frac{2\Lambda(3\Lambda + \sqrt{3(3 - \Lambda^2)})}{3 - 4\Lambda^2}. \end{aligned}$$

Следует отметить, что случай  $\Lambda > 0$  характеризует разрыхление плотной матрицы пласта,  $\Lambda < 0$  – уплотнение рыхлой матрицы, а  $\Lambda = 0$  – является критическим состоянием (несжимаемость среды).

В пластической зоне ( $a(t) \leq r \leq R(t)$ ) система уравнений (1.1) – (1.6) относительно неизвестных  $m, p, w, v, \sigma_{rr}^f, \sigma_{\theta\theta}^f$  замкнута. Здесь текущий радиус  $a(t)$  скважины опреде-

ляется в ходе решения задачи. Плотности фаз определяются термодинамическими уравнениями состояния фаз:

$$\rho_f = \rho_f(p), \rho_s = \rho_s(p, \sigma^f),$$

$$\sigma^f = (1/3) \sigma_{ij}^f \delta_{ij}.$$

Во внешней упругой зоне  $R(t) \leq r < \infty$  выполняются те же уравнения (1.1) – (1.4) с упругими параметрами пласта, которые замыкаются обобщенным законом Гука:

$$\sigma_{rr}^{fe} = 2G \left( \frac{\partial u_r^e}{\partial r} + \frac{\nu}{1-2\nu} e \right) + \varepsilon p_e,$$

$$\sigma_{\theta\theta}^{fe} = 2G \left( \frac{\partial u_r^e}{\partial r} + \frac{\nu}{1-2\nu} e \right) + \varepsilon p_e, \quad (1.7)$$

$$\sigma_{zz}^{fe} = \nu(\sigma_{rr}^{fe} + \sigma_{\theta\theta}^{fe}),$$

где  $p_e$  – поровое давление в упругой зоне,  $E, \nu$  – модуль упругости и коэффициент Пуассона сухого пласта,  $\varepsilon = (1 - m_0)\beta_1 K$  – коэффициент сцепленности матрицы пласта,  $e = \partial u_r^e / \partial r + u_r^e / r$ ,  $u_r$  – объемная деформация и радиальные перемещения твердых частиц в упругой зоне,  $G = (1 - m_0)E / 2(1 + \nu)$ ,  $\nu^e = \partial u_r^e / \partial t$ ,  $K = E / 3(1 - 2\nu)$ .

В уравнениях (1.1)–(1.4), (1.7) искомыми параметрами являются  $m_e, p_e, w_e, u_r^e, \sigma_{rr}^{fe}, \sigma_{\theta\theta}^{fe}$ , и эта система тоже замкнута.

**Начальные и граничные условия:** Пусть при  $t=0$  начальные условия и условия в бесконечности совпадают, т.е.  $p = p_e = p_k, m = m_0$ .

На стенке скважины заданы радиальное эффективное напряжение и дебит жидкой фазы скважины:

$$\sigma_{rr}^f = \sigma_a^f = 0, r \frac{\partial p}{\partial r} = -\frac{Q_f \mu_0}{2\pi k_a h}, \quad (1.8)$$

при  $r = a(t)$ .

На упруго-пластической границе должны быть выполнены условия равенства значе-

ний скоростей смещений, радиальных напряжений и поровых давлений

$$v = v^e, \sigma_{rr}^f = \sigma_{rr}^{fe}, p = p_e, r = R(t), \quad (1.9)$$

а в бесконечности должны быть выполнены условия покоя:

$$\sigma_{rr}^{fe} = \sigma_k^f, m = m_0, p = p_k, r \rightarrow \infty. \quad (1.10)$$

**Решение задачи** в пластической зоне  $(a(t) \leq r \leq R(t))$ . Из уравнения (1.5) получаем

$$v = c(t)r^{-n}. \quad (2.1)$$

Скорость стенки скважины  $\dot{a}(t)$  определяется скоростью твердых частиц, находящихся в ней. Отсюда находим  $v(t)$ , т. е.

$$v(a) = \frac{da}{dt}, c(t) = \dot{a} a^n, v = \left(\frac{a}{r}\right)^n \frac{da}{dt}. \quad (2.2)$$

Уравнение сохранения массы твердой фазы (1.1) с помощью (2.1) и (2.2) приводим к уравнению

$$\frac{\partial \ln((1-m)\rho_s r^{1-n})}{\partial a^{n+1}} + \frac{\partial \ln((1-m)\rho_s r^{1-n})}{\partial r^{n+1}} = 0, \quad (2.3)$$

общее решение, которого имеет вид:

$$(1-m)\rho_s = f(r^{n+1} - a^{n+1})r^{n-1}. \quad (2.4)$$

Используя начальные условия  $(a = a_0, m = m_0, \rho_s = \rho_s^0 \text{ при } t = 0)$ , функцию в (2.4) представим в виде

$$f(r, a) = (1-m_0)\rho_s^0 \times \times \left(a_0^{n+1} + r^{n+1} - a^{n+1}\right)^{\frac{1-n}{1+n}}. \quad (2.5)$$

Подставляя (2.5) в (2.4), получаем

$$(1-m)\rho_s = (1-m_0)\rho_s^0 \times \times \left[1 + \left(\frac{a_0}{r}\right)^{n+1} - \left(\frac{a}{r}\right)^{n+1}\right]^{\frac{1-n}{1+n}}. \quad (2.6)$$

При слишком невысоких давлениях для слабосжимаемых твердых частиц можно принять  $\rho_s = \rho_s^0 = \text{const}$ , поэтому деформирование порового пространства происходит из-за дилатационного течения породы:

$$m = 1 - (1-m_0) \times \times \left[1 + \left(\frac{a_0}{r}\right)^{n+1} - \left(\frac{a}{r}\right)^{n+1}\right]^{\frac{1-n}{1+n}}. \quad (2.7)$$

Отсюда определим значение пористости на стенке скважины

$$m_a = 1 - (1-m_0) \left(\frac{a_0}{a}\right)^{1-n}. \quad (2.8)$$

Зависимость коэффициента проницаемости от пористости принято представлять в виде (Горбунов, 1981; Николаевский, 1996):

$$k = k_0 \left(\frac{m}{m_0}\right)^l, \quad l = \frac{a_k}{a_m}. \quad (2.9)$$

Здесь  $a_k, a_m$  - коэффициенты изменения проницаемости и пористости, параметр  $l$  - изменяется в широком диапазоне в зависимости от свойств горных пород,  $l = 4 \div 12$ .

Подставляя (1.4) и (2.7) с учетом (2.1) и (2.9) в уравнение сохранения массы жидкости (1.2) и предполагая, что  $\rho_f \approx \rho_f^0$ , и после интегрирования его от  $a$  до  $r$  и от  $r$  до  $R$  получаем:

$$p = -\bar{Q}_f \int_x^R \frac{dx}{x \left\{1 - (1-m_0) \left[1 + x^{-n-1} (1-y^{n+1})\right]^{n_1}\right\}^l} + \bar{Q}_s \left(\frac{1}{1-m_0} \times \right.$$

$$\times \int_x^{\bar{R}} \frac{dx}{x^n \left\{ - (1 - m_0) [1 + x^{-n-1} (1 - y^{n+1})]^{n_1} \right\}^{l-1}} + \\ + (1 - n) \times \quad \quad \quad (2.10)$$

$$\left. \times \int_x^{\bar{R}} \frac{\int_y^x [1 + z^{-n-1} (1 - y^{n+1})]^{2n}_{n+1} z^{-n} dz}{x \left\{ - (1 - m_0) [1 + x^{-n-1} (1 - y^{n+1})]^{n_1} \right\}^l} dx \right\} + \\ + p_e(\bar{R}),$$

где  $p(\bar{R})$  – значение порового давления на  $\bar{R}(t)$ ,

$$\bar{R} = \frac{R}{a_0}, \quad y = \frac{a}{a_0}, \quad x = \frac{r}{a_0}, \quad z = \frac{\rho}{a_0}, \quad n_1 = \frac{1-n}{1+n},$$

$$Q_s(t) = -2\pi a h (1 - m_a) v(a),$$

$$Q_f(t) = -2\pi a h m_a w(a), \quad (2.11)$$

$$\bar{Q}_s(t) = \frac{\mu_0 m_0^l Q_s(t)}{2\pi h k_0}, \quad \bar{Q}_f(t) = \frac{\mu_0 m_0^l Q_f(t)}{2\pi h k_0}.$$

Совместное решение уравнений (1.3) и (1.6) при граничном условии (1.8) будет иметь вид:

$$\sigma_{rr}^f = \left( \sigma_a^f + \frac{K}{N-1} \right) \left( \frac{r}{a} \right)^{N-1} + \\ + r^{N-1} \int_a^r \rho^{1-N} \frac{\partial p}{\partial \rho} d\rho - \frac{K}{N-1}, \quad (2.12)$$

$$\sigma_{\theta\theta}^f = N \sigma_{rr}^f + K.$$

Подставляя (2.10) в (2.12), получаем формулу для эффективного напряжения в дилатационной зоне:

$$\sigma_{rr}^f = x^{N-1} \left\{ \left( \sigma_a^f + \frac{K}{N-1} \right) y^{1-N} + \bar{Q}_f(t) \times \right. \\ \times \int_y^x \frac{dx}{x^N \left\{ - (1 - m_0) [1 + x^{-n-1} (1 - y^{n+1})]^{n_1} \right\}^{l-1}} - \\ - \bar{Q}_s(t) \left( \frac{1}{1 - m_0} \times \right. \\ \times \int_y^x \frac{dx}{x^{N+n-1} \left\{ - (1 - m_0) [1 + x^{-n-1} (1 - y^{n+1})]^{n_1} \right\}^{l-1}} + \\ + (1 - n) \times \quad \quad \quad (2.13) \\ \left. \left. \times \int_y^x \frac{\int_z^y [1 + z^{-n-1} (1 - y^{n+1})]^{2n}_{n+1} z^{-n} dz}{x^N \left\{ - (1 - m_0) [1 + x^{-n-1} (1 - y^{n+1})]^{n_1} \right\}^l} dx \right\} - \right. \\ \left. \left. - \frac{K}{N-1} \right. \right\}.$$

Таким образом, получены формулы для  $v = a(a/r)^n$  – (2.1),  $m$  – (2.7),  $p$  – (2.10),  $\sigma_{rr}^f$  и  $\sigma_{\theta\theta}^f$  – (2.12), которые зависят пока от подлежащих определению параметров  $a(t)$ ,  $R(t)$ ,  $p(R)$ . Из (1.4) находится скорость фильтрации жидкости  $w$ .

**Упругая зона** ( $R(t) \leq r \leq \infty$ ). Подставляя (1.7) в (1.3), получаем уравнение сохранения полного импульса насыщенного жидкостью пласта в радиальном перемещении

$$\frac{1-\nu}{1-2\nu} \frac{\partial}{\partial r} \left( \frac{1}{r} \frac{\partial (r u_r^e)}{\partial r} \right) - \frac{1-\varepsilon}{2G} \frac{\partial p_e}{\partial r} = 0. \quad (3.1)$$

Решение (3.1) будет иметь вид:

$$u_r^e = c_1 r + \frac{c_2}{r} + \frac{s}{r} \int_R^r \rho p_e d\rho, \quad (3.2)$$

где  $c_1$ ,  $c_2$  – параметры интегрирования,  $s = (1-2\nu)(1-\varepsilon)/2G(1-\nu)$ . Из (1.7) и (3.2)

определим радиальное эффективное напряжение:

$$\sigma_{rr}^{fe} = 2G \left( \frac{c_1}{1-\nu} - \frac{c_2}{r^2} - \frac{s}{r^2} \times \right. \\ \left. \times \int_R^{R_k} \rho p_e d\rho - \frac{s}{r^2} \int_R^{\infty} \rho p_e d\rho \right) + p_e. \quad (3.3)$$

Учитывая, что  $p_e = p_k = \text{const}$  при  $r \in [R_k, \infty)$ , из (3.3) и граничных условий (1.9), (1.10) находим:

$$c_1 = \frac{1-2\nu}{2G} [\sigma_k^f - (1-Gs)p_k], \quad (3.4)$$

$$c_2 = -\frac{R^2}{2G} [\sigma_{rr}^f(R) - p_e(R) - \sigma_k^f + (1-Gs)p_k].$$

Подставляя (3.4) в (3.2), (3.3) и (1.7), определяем напряженно-деформированное состояние пласта в упругой зоне

$$u_r^e = \frac{1-2\nu}{2G} [\sigma_k^f - (1-Gs)p_k] r - \frac{1}{2G} [\sigma_{rr}^f(R) - p_e(R) - \sigma_k^f + (1-Gs)p_k] \frac{R^2}{r} + \frac{s}{r} \int_R^r \rho p_e d\rho, \\ \sigma_{rr}^{fe} = \sigma_k^f - (1-Gs)p_k - [\sigma_k^f - (1-Gs)p_k - \\ - \sigma_{rr}^f(R) + p_e(R)] \frac{R^2}{r^2} - \frac{2Gs}{r^2} \int_R^r \rho p_e d\rho + p_e, \\ \sigma_{\theta\theta}^{fe} = \sigma_k^f - (1-Gs)p_k + [\sigma_k^f - (1-Gs)p_k - \\ - \sigma_{rr}^f(R) + p_e(R)] \frac{R^2}{r^2} + \frac{2Gs}{r^2} \times \\ \times \int_R^r \rho p_e d\rho + (1-2Gs)p_e, \quad (3.5)$$

$$\sigma_{zz}^{fe} = 2\nu [\sigma_k^f + (1-Gs) \times$$

$$\times (p_e - p_k)] + (1-2\nu) \varepsilon p_e.$$

Эффективные напряжения (3.5) должны удовлетворять с внешней стороны упруго-пластической границы условию текучести (1.6):

$$\sigma_{rr}^f(R) = \frac{2}{N_e + 1} \times \\ \times \left[ \sigma_k^f - (1-Gs)(p_k - p_e(R)) - \frac{K_e}{2} \right]. \quad (3.6)$$

Здесь  $N_e, K_e$  соответствуют значениям критического состояния ( $\Lambda=0$ ) породы пласта на границе  $R$ . Отметим уместно, что условие текучести (1.6) верно в той области пласта, в которой выполняется неравенство  $\sigma_{rr}^f < \sigma_{zz}^f < \sigma_{\theta\theta}^f$ .

В упругой области объемная деформация и среднее напряжение определяются формулами (3.5):

$$e = \frac{\partial u_r^e}{\partial r} + \frac{u_r^e}{r} = sp_e + \frac{1-2\nu}{G} [\sigma_k^f - (1-Gs)p_k], \\ \sigma^{fe} = \frac{\sigma_{rr}^{fe} + \sigma_{\theta\theta}^{fe} + \sigma_{zz}^{fe}}{3} = \frac{2(1+\nu)}{3} \times \\ \times [\sigma_k^f - (1-Gs)p_k] + [(1-m_0)\mathbf{K}_s + \varepsilon]p_e. \quad (3.7)$$

При малых отклонениях параметров пласта  $m', p'_e$  и др. от своего исходного состояния  $m_0, p_k$  и др. уравнения (1.1) и (1.2) линеаризуются ( $m = m_0 + m', e = e_0 + e', p_e = p_k + p'_e$  и т.д.), т. е.

$$\frac{\partial m'}{\partial t} + \beta_1 \frac{\partial \sigma'^{fe}}{\partial t} - (1-m_0) \times \\ \times \beta_1 \frac{\partial p'_e}{\partial t} - (1-m_0) \frac{\partial e'}{\partial t} = 0, \quad (3.8)$$

$$\frac{\partial m'}{\partial t} + \beta_2 m_0 \frac{\partial p'_e}{\partial t} + m_0 \frac{1}{r} \frac{\partial}{\partial r} (rw'_e) = 0. \quad (3.9)$$

Подставляя (3.7) в уравнение неразрывности твердой фазы (3.8) и проинтегрировав его, получаем

$$m' = (1 - m_0)(1 - \beta_1 K)(\beta_1 + s)p'_e. \quad (3.10)$$

Уравнение неразрывности жидкой фазы (3.9) с помощью закона Дарси

$$\frac{k_0}{\mu_0} \frac{\partial p'}{\partial r} = -m_0(w'_e - v'_e), \quad v^e = \frac{\partial u_r^e}{\partial t} \quad (3.11)$$

и соотношения (3.9) приводится к виду:

$$\frac{\partial p'_e}{\partial t} = \chi \frac{1}{r} \frac{\partial}{\partial r} \left( \frac{k_e}{k_0} r \frac{\partial p'_e}{\partial r} \right), \quad (3.12)$$

где

$$\chi = \frac{\chi_0}{a+b}, \quad \chi_0 = k_0(1-m_0)(1-\nu) \frac{E}{\mu_0},$$

$$a = (1-m_0)(1-\nu)[(1-m_0)(1-\beta_1 K)\beta_1 + m_0\beta_2],$$

$$b = (1-\varepsilon)^2(1+\nu)(1+2\nu).$$

Таким образом, после определения из уравнения (3.12)  $p'_e$  полностью определяются напряженно-деформированные состояния пласта, пористости, коэффициент проницаемости, скорости твердой и жидкой фазы. При  $k_e = k_0$  уравнение (3.12) линеаризуется и его интегрирование не представляет трудности.

**Интенсивность выноса** твердой породы пласта  $\bar{Q}_s(t)$  на стенке скважины ( $r=a$ ) определяется условием (2.11) и формулами (2.2), (2.8):

$$y^n \frac{dy}{dt} = -\frac{\bar{Q}_s(t)k_0}{(1-m_0)m_0^l a_0^2 \mu_0}. \quad (4.1)$$

Воспользуясь формулами (2.2), (2.10), (2.12), (3.5) и решением уравнения (3.12) при граничных и начальных условиях, из (1.9) получаем:

$$2G(N_e + 1) \left( \frac{a}{r} \right)^n \frac{da}{dt} = \{K_e + 2[(1-\nu)N_e - \nu]\} \times$$

$$\times [\sigma_k^f - (1-Gs)p_k] \} \frac{dR}{dt} + \quad (4.2)$$

$$+ (N_e + 2Gs - 1) \left[ p_e(R, t) \frac{dR}{dt} + R \frac{\partial p_e(R, t)}{\partial t} \right].$$

$$\bar{Q}_f(t) \int_y^R \frac{dx}{x^N f^{l-1}(x, y)} - \bar{Q}_s(t) \left( \frac{1}{1-m_0} \times \right.$$

$$\times \int_y^R \frac{dx}{x^{N+n-1} f^{l-1}(x, y)} + (1-n) \int_y^R \frac{\varphi(x, y) dx}{x^N f^l(x, y)} \left. \right) +$$

$$+ \frac{2(1-Gs)}{N_e + 1} R^{1-N} [p_k - p_e(R)] = \left[ \frac{K}{N-1} + \right. \quad (4.3)$$

$$\left. + \frac{2}{N_e + 1} \left( \sigma_k^f - \frac{K_e}{2} \right) \right] R^{1-N} - \left( \sigma_a^f + \frac{K}{N-1} \right) y^{1-N},$$

где

$$f(x, y) = 1 - (1-m_0) \times$$

$$\times [1 + x^{-n-1} (1 - y^{n+1})]^{n_1}, \quad (4.4)$$

$$\varphi(x, y) = \int_y^x [1 + z^{-n-1} (1 - y^{n+1})]^{-\frac{2n}{n+1}} z^{-n} dz.$$

Динамика развития давления  $p$  на стенке скважины определяется формулой (2.10) при  $r=a(t)$ :

$$p_a = -\bar{Q}_f \int_y^R \frac{dx}{x f^l(x, y)} + \bar{Q}_s \left[ \frac{1}{1-m_0} \times \right. \quad (4.5)$$

$$\times \int_y^R \frac{dx}{x^n f^{l-1}(x, y)} + (1-n) \int_y^R \frac{\varphi(x, y) dx}{x f^l(x, y)} \left. \right] + p_e(R).$$

Если в системе (4.1)-(4.3) заданы параметры пласта и  $\bar{Q}_f$ , то она замкнута относи-

тельно неизвестных  $y$ ,  $\bar{R}$  и  $\bar{Q}_s$ . Определение последних дает возможность из (4.5) вычислить  $p_a$ . Если известно  $p_a$ , то требуется решить совместно систему интегродифференциальных уравнений (4.1) – (4.5) относительно  $y$ ,  $\bar{R}$ ,  $\bar{Q}_s$  и  $\bar{Q}_f$ .

Рассмотрим частный случай. Если режим работы скважины таков, что в упругом пласте на контуре питания поддерживается постоянное давление (что, например, обеспечивается при разработке месторождения с поддержанием давления), то коэффициент продуктивности скважины при длительной ее работе может быть определен из выражения (Бузинов, Умрихин, 1984):

$$p_k - p_e(r, t) = -\frac{Q_f \mu_0}{2\pi k_0 h} \ln \frac{r}{R_k}. \quad (4.6)$$

Если начальное давление в пласте постоянное, то при пуске скважины с постоянным дебитом депрессия будет изменяться по формуле:

$$p_k - p_e = -\frac{Q_f \mu_0}{2\pi k_0 h} \ln \sqrt{\frac{r^2}{2,25 \chi t}}, \quad \chi t \gg r^2 \quad (4.7)$$

для малых  $t$  и по формуле

$$p_k - p_e = -\frac{Q_f \mu_0}{2\pi k_0 h} \times \times \left( \ln \frac{r}{R_k} + 1,283 e^{-5,784 \frac{\chi t}{R_k^2}} \right) \quad (4.8)$$

для больших  $t$ .

Подставляя (4.7) и (4.8) в (4.2)–(4.5) и переходя к безразмерным величинам, получим

$$2G(N_e + 1)y^n \frac{dy}{dt} = \bar{R}^n \{ [K_e + 2((1 - \nu)N_e - \nu) \times \times \sigma_k^f - 2(1 + N_e) \left( (1 - \nu)(1 - G_S) - \frac{1}{2} \right) p_k +$$

$$+ A \left( 1 + \ln \frac{\bar{R}}{\sqrt{2,25 \chi t}} \right) \} \frac{d\bar{R}}{dt} - \frac{A}{2} \cdot \frac{\bar{R}}{t}, \quad (4.9)$$

$$\bar{Q}_f \left( \int_y^{\bar{R}} \frac{dx}{x^N f^l(x, y)} - B \bar{R}^{1-N} \ln \frac{\bar{R}}{\sqrt{2,25 \chi t}} \right) -$$

$$- \bar{Q}_s \left( \frac{1}{1 - m_0} \int_y^{\bar{R}} \frac{dx}{x^{N+n-1} f^{l-1}(x, y)} + (1 - n) \times \right.$$

$$\left. \times \int_y^{\bar{R}} \frac{\varphi(x, y) dx}{x^N f^l(x, y)} \right) = \left[ \frac{K}{N-1} + \frac{2}{N_e + 1} \times \right.$$

$$\left. \times \left( \sigma_k^f - \frac{K_e}{2} \right) \right] \bar{R}^{1-N} - \left( \sigma_a^f + \frac{K}{N-1} \right) y^{1-N};$$

$$\bar{Q}_f \left( \int_y^{\bar{R}} \frac{dx}{x f^l(x, y)} - \frac{k_0}{k_e m_o^e} \ln \frac{\bar{R}}{\sqrt{2,25 \chi t}} \right) -$$

$$- \bar{Q}_s \left[ \frac{1}{1 - m_0} \int_y^{\bar{R}} \frac{dx}{x^n f^{l-1}(x, y)} + \right.$$

$$\left. + (1 - n) \int_y^{\bar{R}} \frac{\varphi(x, y) dx}{x f^l(x, y)} \right] = p_k - p_a,$$

при малых  $t$  и

$$2G(N_e + 1)y^n \frac{dy}{dt} = \bar{R}^n \{ [K_e + 2((1 - \nu)N_e - \nu) \times \times \sigma_k^f - 2(1 + N_e) \left( (1 - \nu)(1 - G_S) - \frac{1}{2} \right) p_k + \left. + A \left( 1 + \ln \frac{\bar{R}}{\bar{R}_k} + 1,283 e^{-5,784 \frac{\chi t}{\bar{R}_k^2}} \right) \right] \} \times \quad (4.10)$$

$$\begin{aligned}
& \times \frac{d\bar{R}}{dt} - \frac{7,429A}{\bar{R}_k^2} e^{-5,784 \frac{\bar{\chi}t}{\bar{R}_k^2}} \bar{R} \Bigg\}, \\
& \bar{Q}_f \left[ \int_y^{\bar{R}} \frac{dx}{x^N f^l(x, y)} - B \bar{R}^{1-N} \times \right. \\
& \times \ln \left( \frac{\bar{R}}{\bar{R}_k} + 1,283 e^{-5,784 \frac{\bar{\chi}t}{\bar{R}_k^2}} \right) \left. \right] - \bar{Q}_s \left( \frac{1}{1-m_0} \times \right. \\
& \times \int_y^{\bar{R}} \frac{dx}{x^{N+n-1} f^{l-1}(x, y)} + (1-n) \int_y^{\bar{R}} \frac{\varphi(x, y) dx}{x^N f^l(x, y)} \Bigg) = \\
& = \left[ \frac{K}{N-1} + \frac{2}{N_e+1} \left( \sigma_k^f - \frac{K_e}{2} \right) \right] \bar{R}^{1-N} - \\
& - \left( \sigma_a^f + \frac{K}{N-1} \right) y^{1-N}; \\
& \bar{Q}_f \left[ \int_y^{\bar{R}} \frac{dx}{x f^l(x, y)} - \frac{k_0}{k_e m_o^l} \times \right. \\
& \times \left. \ln \frac{\bar{R}}{\bar{R}_k} + 1,283 e^{-5,784 \frac{\bar{\chi}t}{\bar{R}_k^2}} \right] - \\
& - \bar{Q}_s \left[ \frac{1}{1-m_0} \int_y^{\bar{R}} \frac{dx}{x^n f^{l-1}(x, y)} + \right. \\
& \left. + (1-n) \int_y^{\bar{R}} \frac{\varphi(x, y) dx}{x f^l(x, y)} \right] = p_k - p_a,
\end{aligned}$$

при больших  $t$ , где

$$\begin{aligned}
A &= \frac{\bar{Q}_f k_0 (N_l + 2Gs - 1)}{k_e m_o^l}, \\
B &= \frac{2(1-Gs)k_0}{(N_l + 1)k_e m_o^l}, \quad \bar{\chi} = \frac{\chi}{a_0^2}.
\end{aligned}$$

Проведены численные расчеты (Самарский, Гулин, 1989) по замкнутой системе интегродифференциональных уравнений (4.1), (4.9) и (4.10), связывающей интенсивность объема выноса твердой породы  $\bar{Q}_s$  с радиусами пластической зоны  $a$  и  $R$ , дебитом жидкости  $\bar{Q}_f$  и перепадом давления  $\Delta p = p_k - p_a$ . При пуске скважины начальные размеры пластической зоны определяются из решения соответствующих статических задач.

$$\begin{aligned}
k_0 &= 6 \cdot 10^{-13} \text{ м}^2, \quad k_e = 2 \cdot 10^{-13} \text{ м}^2, \quad m_0 = 0.2, \\
K &= -1.5 \cdot 10^5 \text{ Па}, \quad K_e = -2 \cdot 10^5 \text{ Па}, \\
p_k &= 1.5 \cdot 10^7 \text{ Па}, \quad \sigma_k^f = -2.5 \cdot 10^7 \text{ Па}, \quad l = 4, \\
n &= 0.8; 1.5; 2, \quad N = N_e = 3, \quad a_0 = (0.12 - 0.15) \text{ м}, \\
R_k &= 200 \text{ м}, \quad \bar{\chi} = 40 \text{ сек}^{-1}, \quad Gs = 0.27, \quad \nu = 0.25, \\
E &= 4,02 \cdot 10^9 \text{ Па}, \quad \bar{Q}_f = (100 - 1000) \text{ Па}.
\end{aligned}$$

При  $n > 1$  существуют критические значения  $\bar{Q}_{fk}$ , в случае  $\bar{Q}_f < \bar{Q}_{fk}$  объем выноса твердой массы в зависимости от времени, быстро уменьшаясь, асимптотически стремится к нулю (рис. 1). На рисунках 1-3 кривая 1 соответствует значениям  $n = 1.5$ ,  $\bar{Q}_f = 200 \text{ Па}$ ,

$2 - \bar{Q}_f = 300 \text{ Па}$ ,  $3 - \bar{Q}_f = 400 \text{ Па}$ . В этом случае фильтрация происходит в процессе разуплотнения породы пласта и расширения пластической зоны вокруг скважины (рис. 2, 3). Однако изначально при плотной упаковке породы пласта, когда вынос породы начинается после достижения  $\bar{Q}_f$  значения  $\bar{Q}_{fk}$  и  $n > 1$ , соответственно определяемым величиной сцепления  $Y$  и скоростью дилатансии  $\Lambda$ , происходит разрыхление породы в окрестности скважины и быстрый рост  $\bar{Q}_s$ . Для указанных данных при  $n=1.5$  критическое значение  $\bar{Q}_f$  равно  $\bar{Q}_{fk} \sim 450 \text{ Па}$ . С уменьшением коэффициентов проницаемости критическое значение  $\bar{Q}_{fk}$  увеличивается и при  $k_0 = 3 \cdot 10^{-13} \text{ м}^2$ ,  $k_e = 10^{-13} \text{ м}^2$  становится равным  $\bar{Q}_{fk} \sim 1000 \text{ Па}$ .

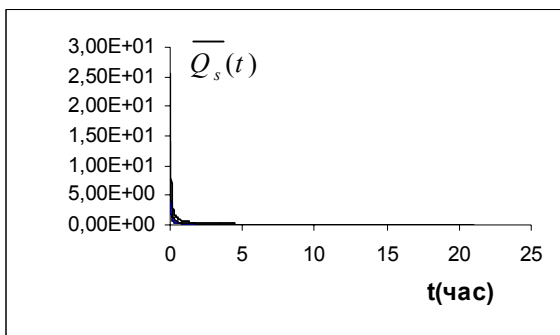


Рис. 1

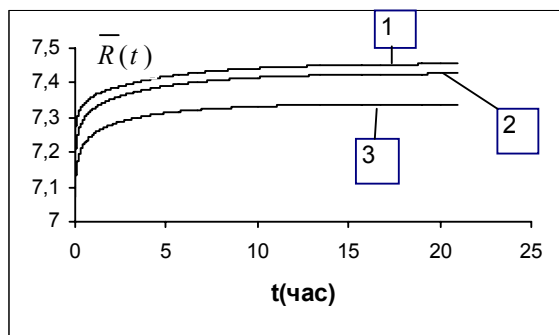


Рис. 2

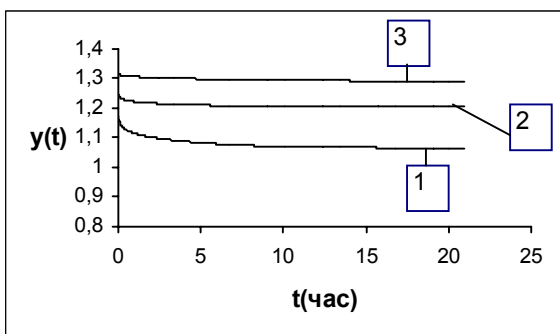


Рис. 3

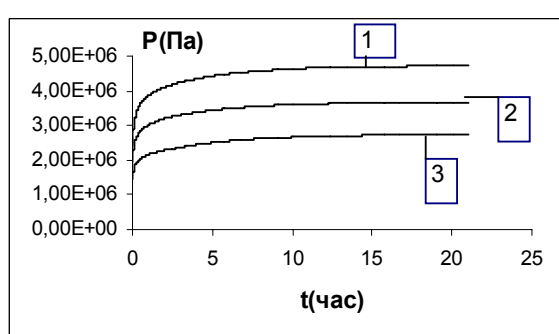


Рис. 4

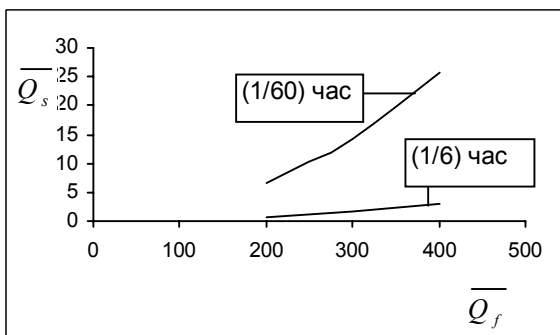


Рис. 5

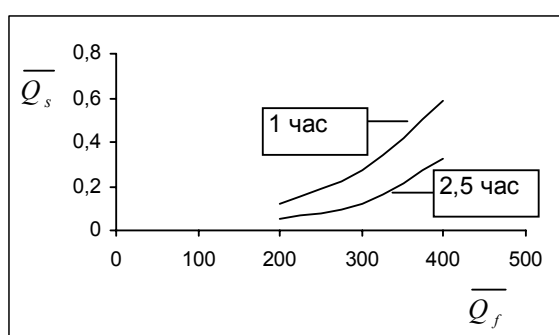


Рис. 6

Отметим, что продолжительность перепада давления, интенсивность выноса породы  $\bar{Q}_s(t)$ , расширение пластической зоны  $a(t) \leq r \leq R(t)$  во времени зависят от режима работы скважины. Поскольку при заданном распределении давления в упругой зоне процесс фильтрации со временем переходит в стационарное состояние, то  $\bar{Q}_s(t), \Delta p(t), a(t)$

и  $R(t)$  тоже переходят в это состояние (рис. 1–рис. 4). Связь между  $\bar{Q}_s$  и  $\bar{Q}_f$  показана на рис. 5 и рис. 6. С ростом одного из значений  $n, m_0, k_0, k_e$  и  $\bar{Q}_f$  увеличивается вынос интенсивности твердых фрагментов в работающую скважину.

В случае  $n < 1$  изначально пористость пласта велика и при фильтрации происходит

уплотнение разрыхленной породы, приводящее к уменьшению пористости и коэффициента проницаемости, а также к сужению пластической зоны.

## ЛИТЕРАТУРА

- РАМАЗАНОВ, Т.К. 1996. Пластические зоны вокруг действующей скважины. *Изв. ВУЗ, Нефт и газ*, 3-4, 13-19.
- ГРАФУТКО, С.В., НИКОЛАЕВСКИЙ, В.Н. 1998. Задача о выносе песка в работающую скважину. *Мех. жидк. и газа*, 5, с 130-138.
- РАМАЗАНОВ Т.К., АТАЕВ Г.Н. 2000. Расширения дилатационно-пластических зон вокруг действующей скважины и задача о выносе песка. *Вест. Бакинского Университета, Сер. наук о физ-мат.*, 2, 145-154; 3, 163-171.
- ЗОТОВ, Г.А., ДИНКОВ, А.В., ЧЕРНЫХ, В.А. 1987. Эксплуатация скважин в неустойчивых коллекторах. Недра, Москва, 171.
- ГОРБУНОВ, А.Т. 1981. Разработка аномальных нефтяных месторождений. Недра, Москва, 237.
- НИКОЛАЕВСКИЙ, В.Н. 1996. Геомеханика и флюидодинамика. Недра, Москва, 447.
- БУЗИНОВ, С.Н., УМРИХИН, И.Д. 1984. Исследование нефтяных и газовых скважин и пластов. Недра, Москва, 269.
- САМАРСКИЙ, А.А., ГУЛИН, А.В. 1989. Численные методы. Наука, Москва, 432.

*Рецензент: член-корр. НАН Азербайджана Г.И.Джалалов*